

# Laboratório 4 - Otimização com Métodos Baseados em População

Marcelo Buga Martins da Silva

CT-213 - Professor Marcos Ricardo Omena de Albuquerque Máximo

10/04/2021



## 1 Implementação do PSO

Nesse laboratório foi implementado o algoritmo *Particle Swarm Optimization* (PSO) para a resolução de problemas de otimização. A maior particularidade da implementação desse método de otimização nesse laboratório foram a utilização de duas classes, *Particle* e *ParticleSwarmOptimization*.

O construtor de *Particle* inicializa posições e velocidade aleatórias da partícula dentro de um limite especificado, assim como inicializa variáveis que guardarão as coordenadas e o custo da melhor posição histórica da partícula.

Por sua vez, o construtor de *ParticleSwarmOptimization* inicializa um número determinado de partículas, assim como inicializa variáveis que guardam os dados da melhor iteração da geração, assim como a melhor iteração global. Por fim, optou-se por inicializar um contador nessa função para auxiliar as demais funções a encontrarem uma determinada partícula, sendo também utilizada para atualizar os dados da melhor iteração e do melhor global depois de passar por uma geração. Dentro dessa classe, destacam-se os métodos *notify\_evaluation* e *advance\_generation*. Ambos foram utilizados para atualizar os valores de cada partícula, aplicando, de fato, o algoritmo do PSO.

## 2 Teste da implementação do PSO

Para testar a implementação, partiu-se de um problema muito simples: encontrar o valor que maximiza a Equação 1:

$$f(x) = - \left( (x(0) - 1)^2 + ((x(1) - 2)^2 + ((x(2) - 3)^2 \right) \quad (1)$$

Tal equação possui máximo global (trivial) em  $(1, 2, 3)$ . Utilizando o algoritmo implementado, obteve-se resultado muito satisfatório, com uma convergência bem rápida dos valores. Foi encontrado o valor exato para os parâmetros  $x(0)$ ,  $x(1)$  e  $x(2)$ , como mostram as Figuras 1, 2 e 3:

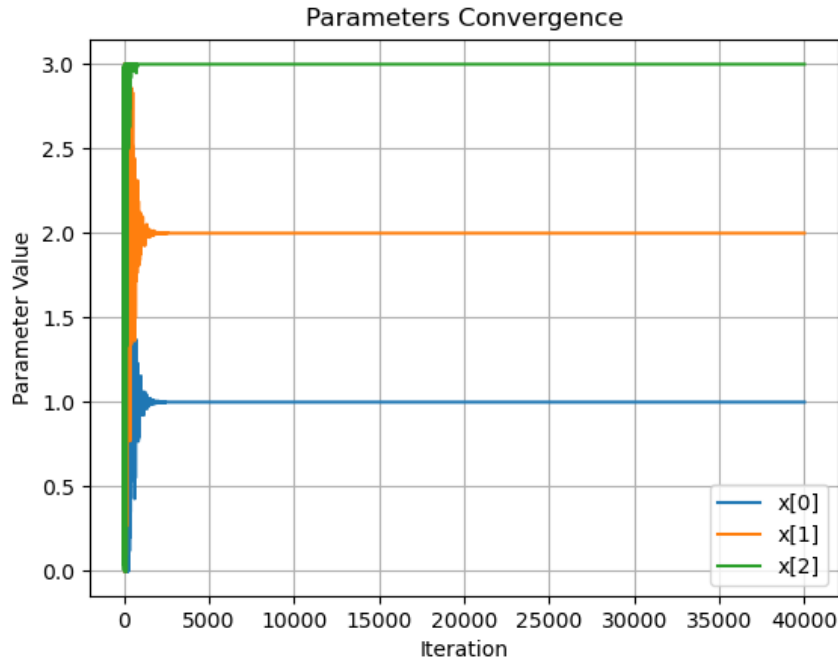


Figura 1: Convergência dos parâmetros para o caso teste

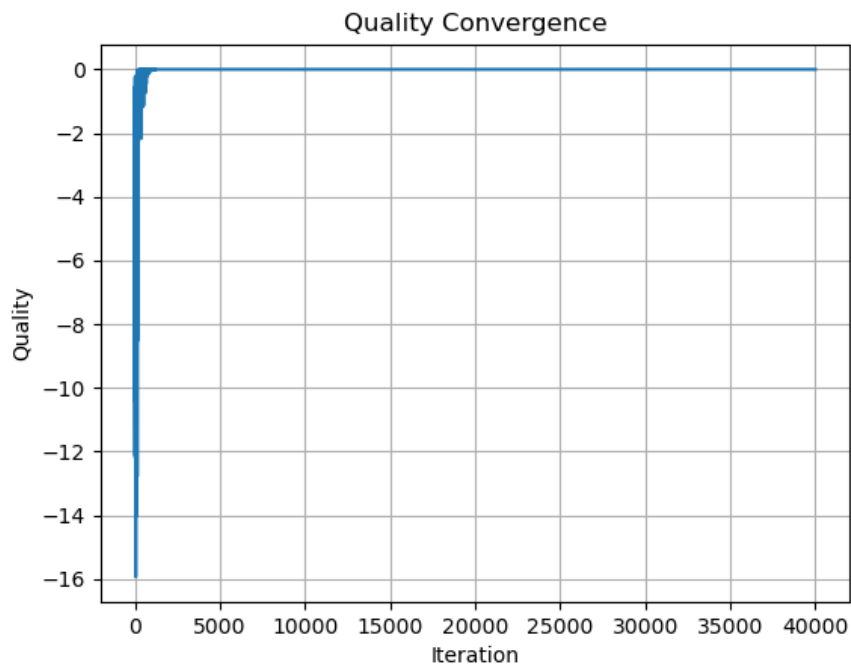


Figura 2: Convergência da qualidade geral das partículas

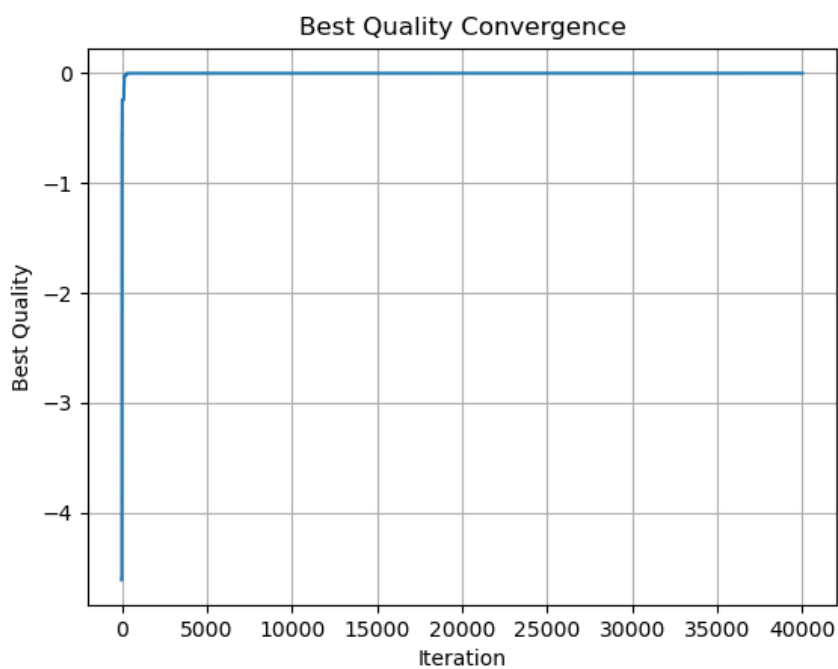


Figura 3: Convergência da melhor qualidade das partículas

Com a implementação tendo se provada muito boa para o caso teste, decidiu-se então utilizá-la para o

problema muito mais complicado proposto: a otimização dos parâmetros de controle para um robô *Line Follower*.

### 3 PSO para otimização de parâmetros de controle

Dado que o algoritmo do PSO já havia sido implementado e testado, o maior desafio nessa parte do laboratório foi criar uma função de recompensa para o bom comportamento do robô. Para tal recompensa, foi utilizada a Equação 2:

$$f(x) = \sum_k^N (v_k \langle r_k, t_k \rangle - w |e_k|) \quad (2)$$

Nessa equação,  $N$  é a duração do episódio de treinamento em passos de tempo (*time steps*) e  $k$  é o instante, de tal forma que  $v_k$  é a velocidade linear,  $r_k$  é um vetor (bidimensional) unitário que aponta na direção do robô no instante  $k$ ,  $t_k$  é o vetor tangente à atual posição no caminho no instante  $k$ ,  $|e_k|$  é o módulo do erro em relação à linha e  $w$  é um peso para fazer um compromisso entre se manter no centro da linha e seguir o caminho rapidamente.

Nessa primeira implementação, foi utilizado  $w = 0,5$  e convencionado que  $e_k = 0,06$  quando o robô está fora da linha. Infelizmente, essa implementação não teve resultados nada positivos, com o robô convergindo para seguir reto depois da primeira curva.

Depois de várias tentativas, a que obteve o melhor resultado foi a que teve as seguintes considerações:

$$w = 0,6$$

$$e_k = 0,08 \text{ e } \langle r_k, t_k \rangle = -0,02 \text{ quando o robô está fora da linha.}$$

Utilizou-se desse artifício para punir mais o robô por sair da linha. Em geral o resultado final foi bem satisfatório, embora a curva mais difícil do final do percurso não tenha sido tão bem realizada. Foram utilizadas mais de 15.000 iterações para chegar aos resultados das Figuras 4, 5 e 6.

Os melhores parâmetros encontrados foram:

1. *Linear Speed*: 0,745178

2.  $K_p$ : 89,101469

3.  $K_i$ : 826,669672

4.  $K_d$ : 16,313806

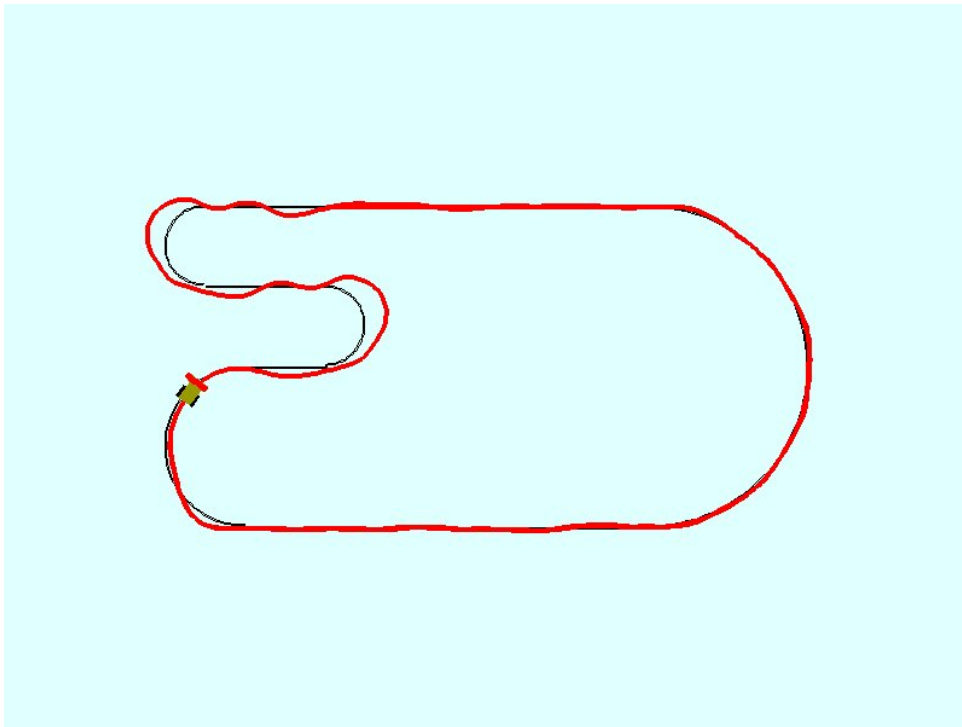


Figura 4: Melhor solução para o *Line Follower*

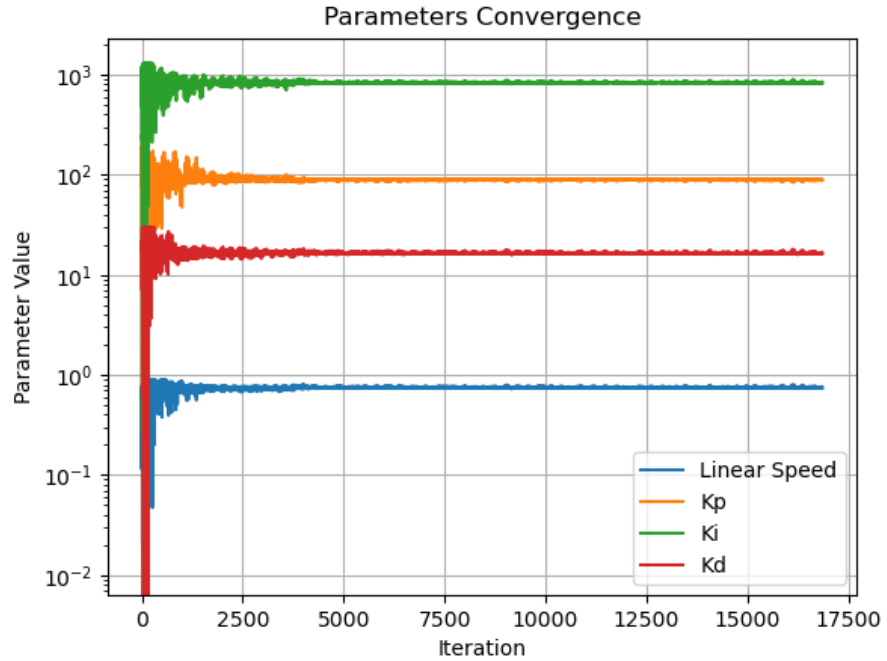


Figura 5: Convergência dos melhores valores dos parâmetros de controle

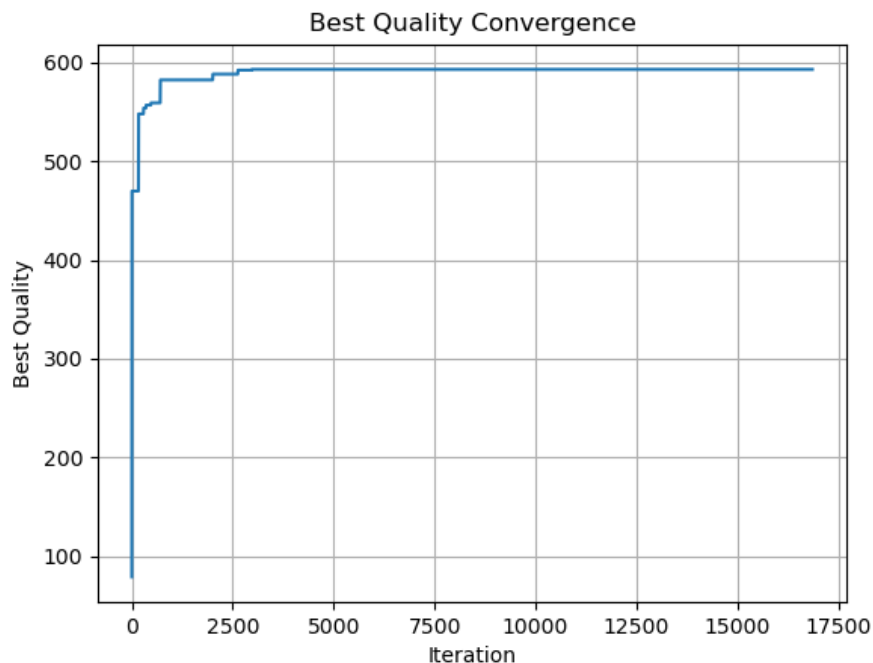


Figura 6: Convergência da melhor qualidade das partículas

Em comparação com a solução de exemplo do professor (Figura 7, percebe-se que o caminho do carrinho desviou um pouco mais da linha, embora (provavelmente, dado que o código base pega um dos instantes finais para o *screenshot*) tenha conseguido ir mais longe. Como a função de recompensa considera a velocidade, é provável que, para a função de recompensa utilizada, a solução aqui apresentada seja "melhor" do que a de exemplo. Para atingir algo mais próximo da Figura 7, seria, então, provavelmente necessário recompensar mais por seguir a linha e menos pela velocidade.

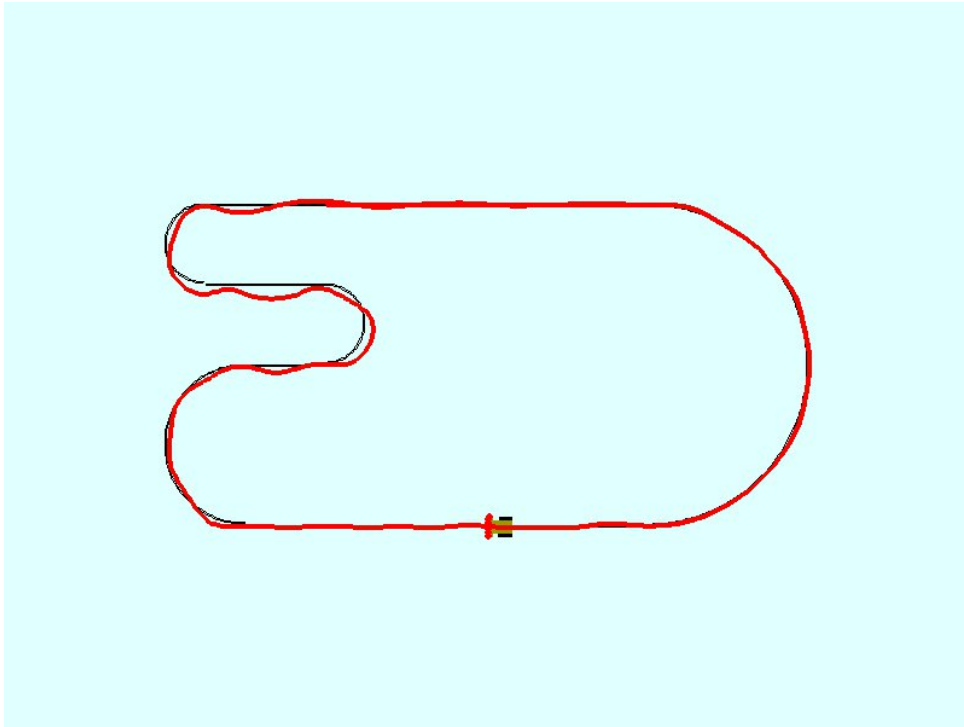


Figura 7: Exemplo de resultado da otimização dado pelo professor

Por fim, algo interessante foi o comportamento da convergência geral das partículas, explicitado pelas Figuras 8 e 9. Percebe-se que muitas partículas ficaram presas em algum máximo local, o que impediu a convergência de todas as partículas para um mesmo valor, justificando o comportamento "caótico" dos gráficos.

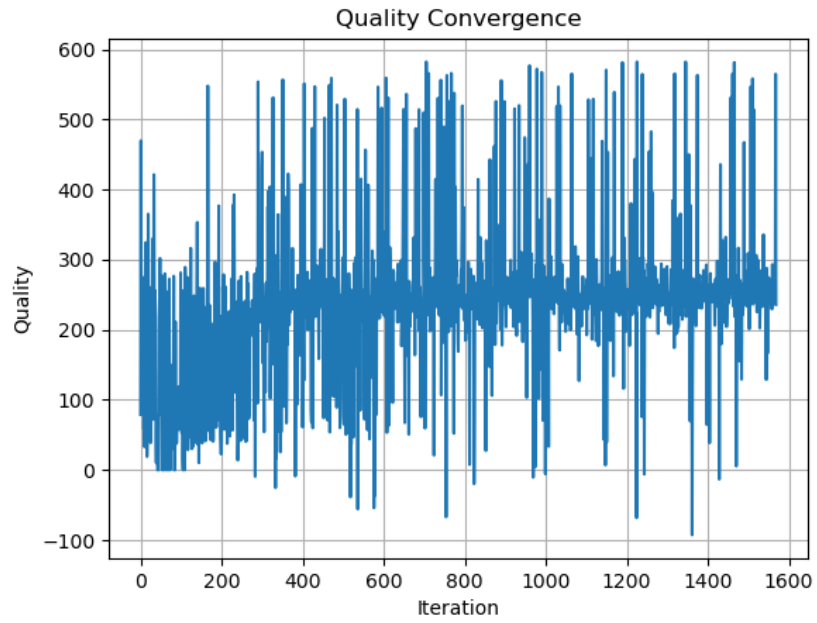


Figura 8: Qualidade das partículas nas primeiras 1500 iterações

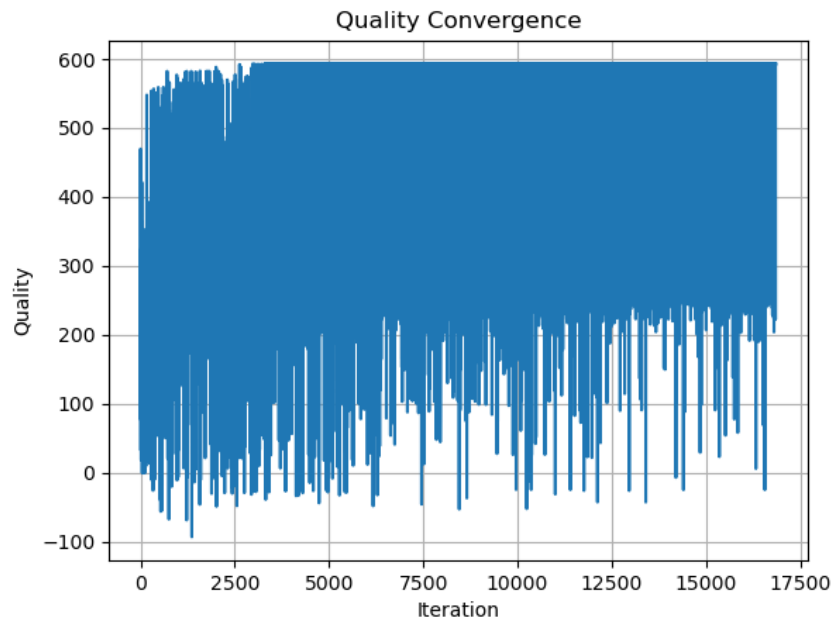


Figura 9: Qualidade das partículas após todas as iterações